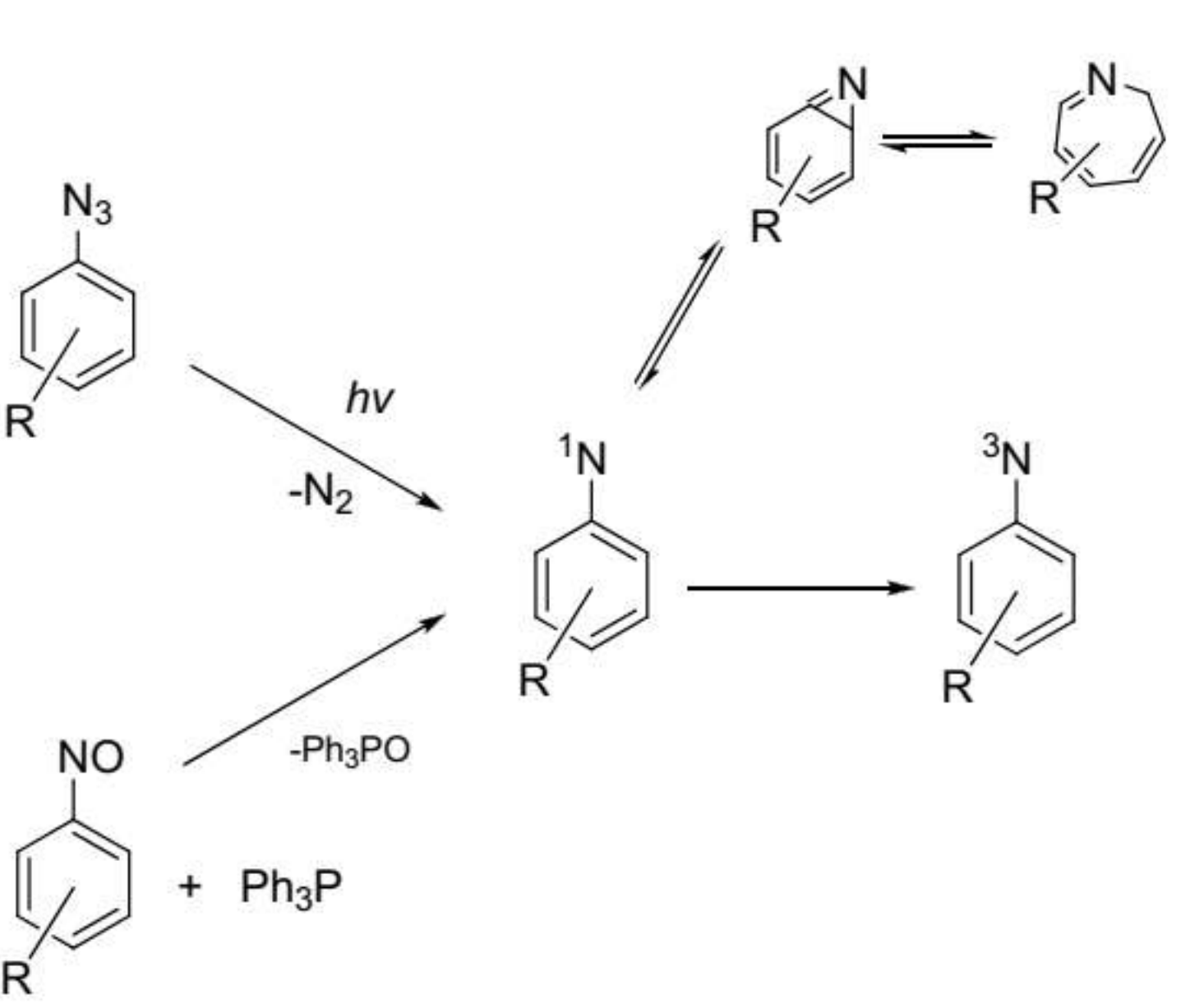
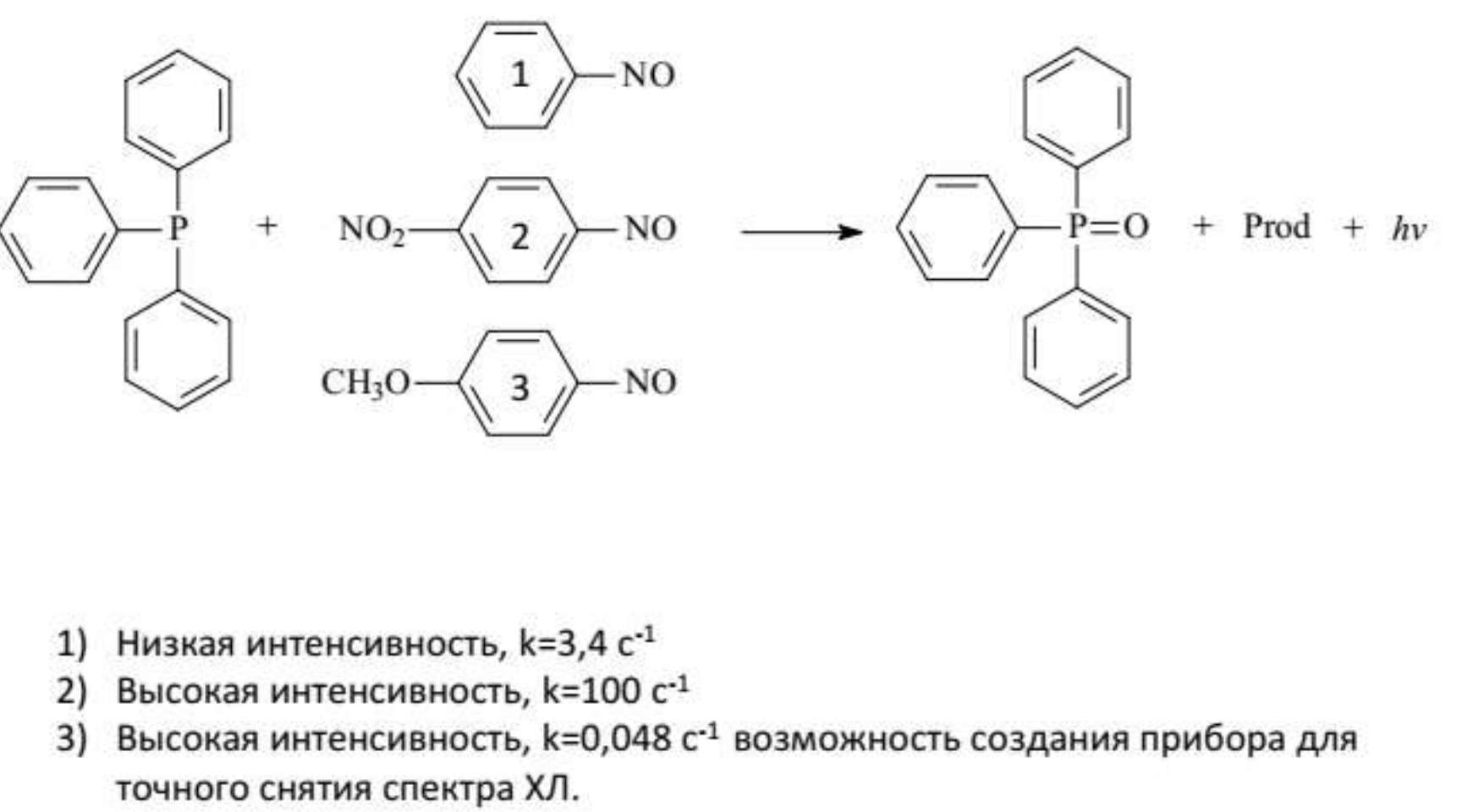
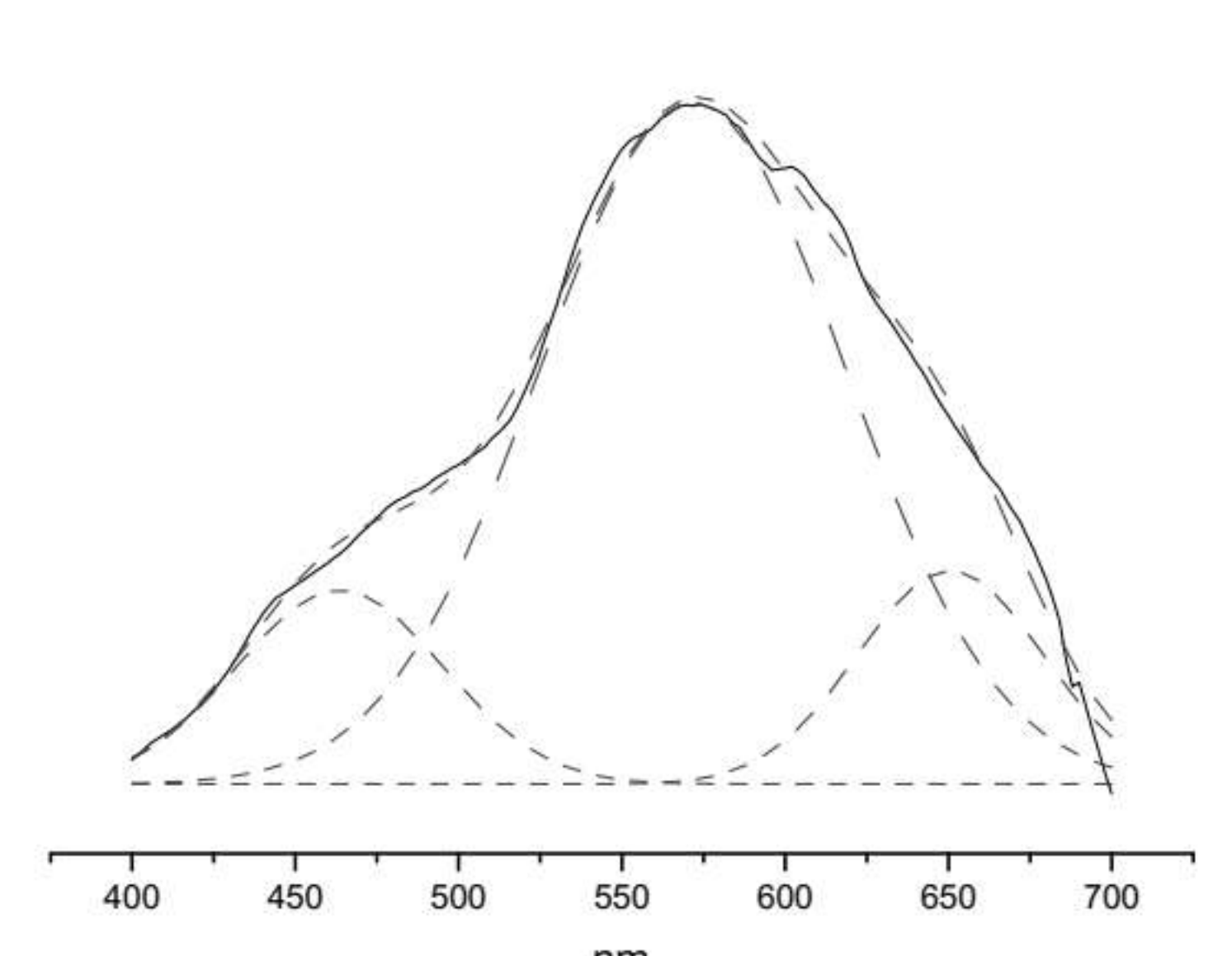


**ИЗМЕРЕНИЕ КОНСТАНТ СКОРОСТИ РЕАКЦИЙ ТРИПЛЕТНЫХ АРОМАТИЧЕСКИХ НИТРЕНОВ МЕТОДОМ ХЕМИЛЮМИНЕСЦЕНЦИИ**

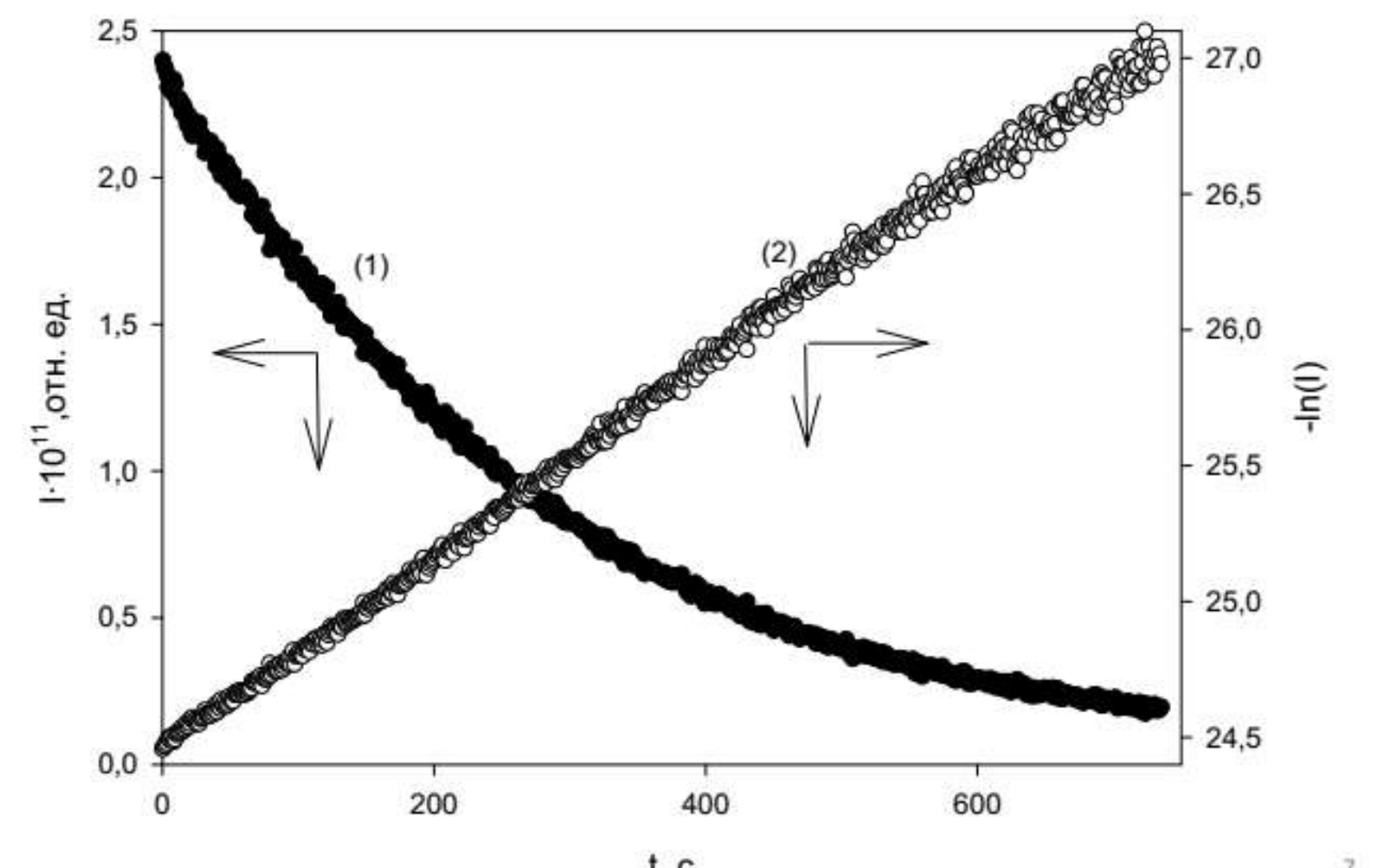
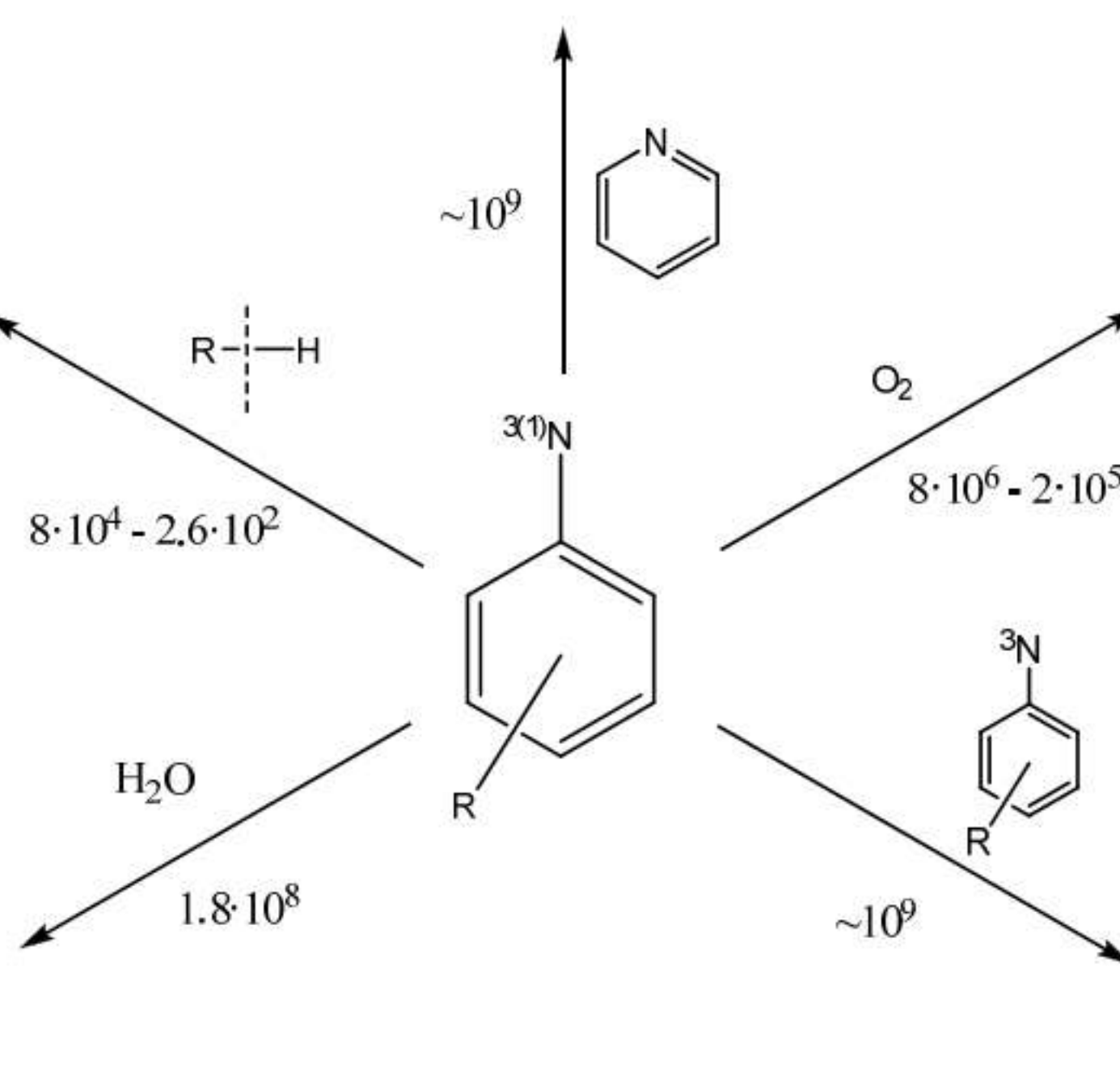
В. А. Шамукаев, Е. М. Чайникова, Р. Л. Сафиуллин



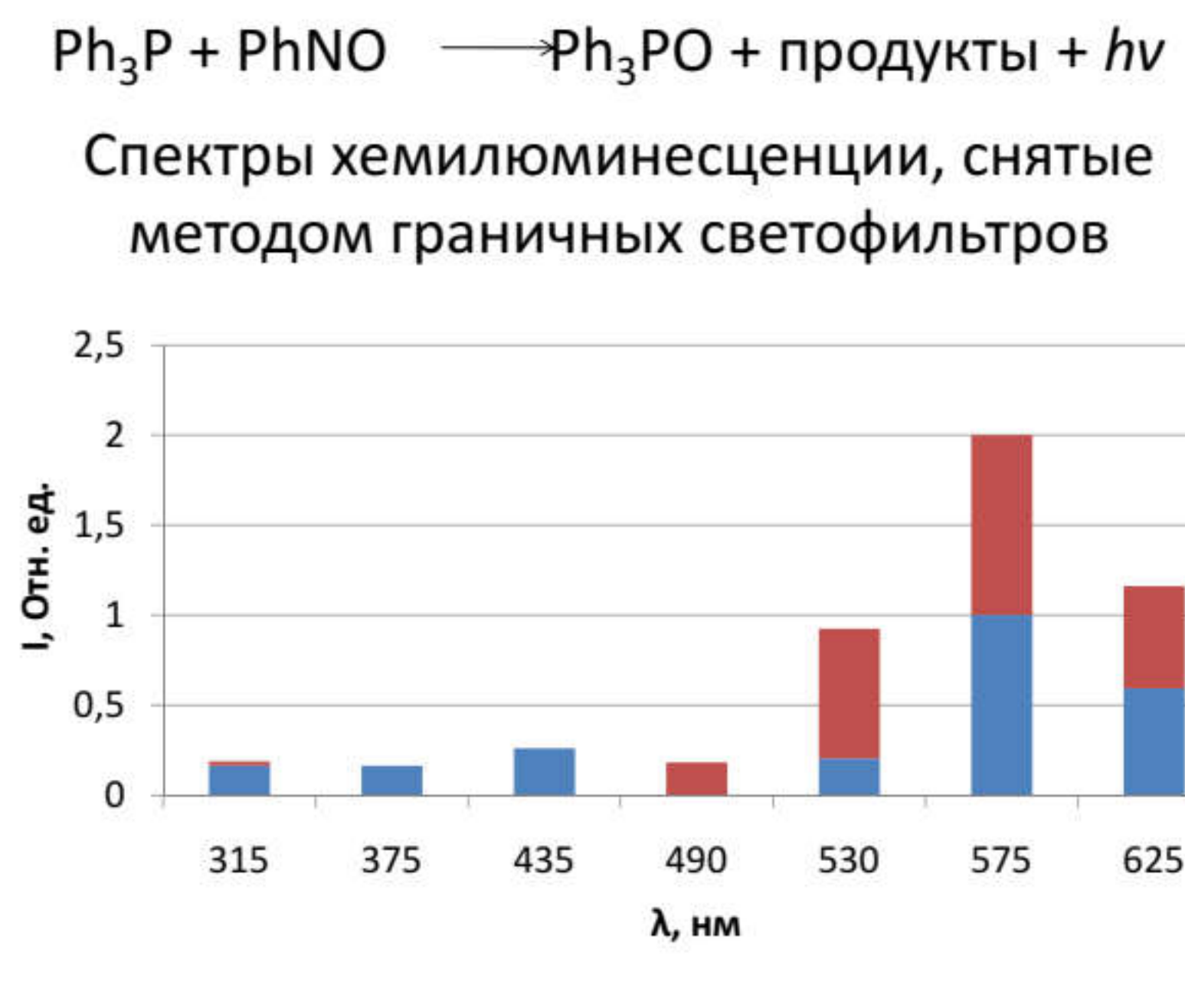
Спектр ХЛ в реакции и  $\text{Ph}_3\text{P}$  ( $10^{-2}$  моль/л) и *пара*- $\text{CH}_3\text{OPhNO}$  ( $10^{-3}$  моль/л) в аргоне.



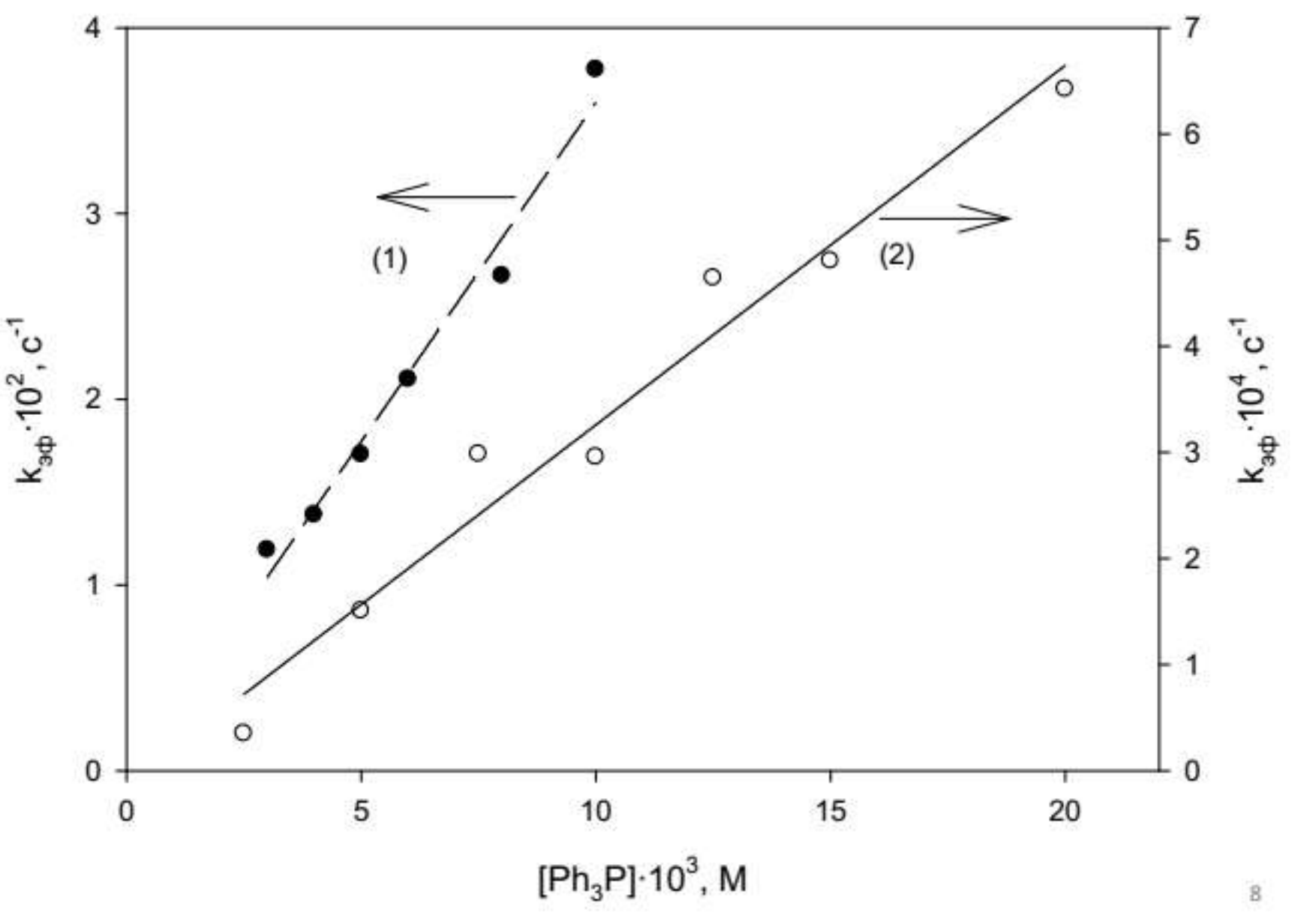
Кривая затухания ХЛ (1) и логарифм её интенсивности (2) для реакции  $\text{Ph}_3\text{P}$  ( $10^{-2}$  моль/л), *пара*- $\text{CH}_3\text{OPhNO}$  ( $10^{-4}$  моль/л) на воздухе.



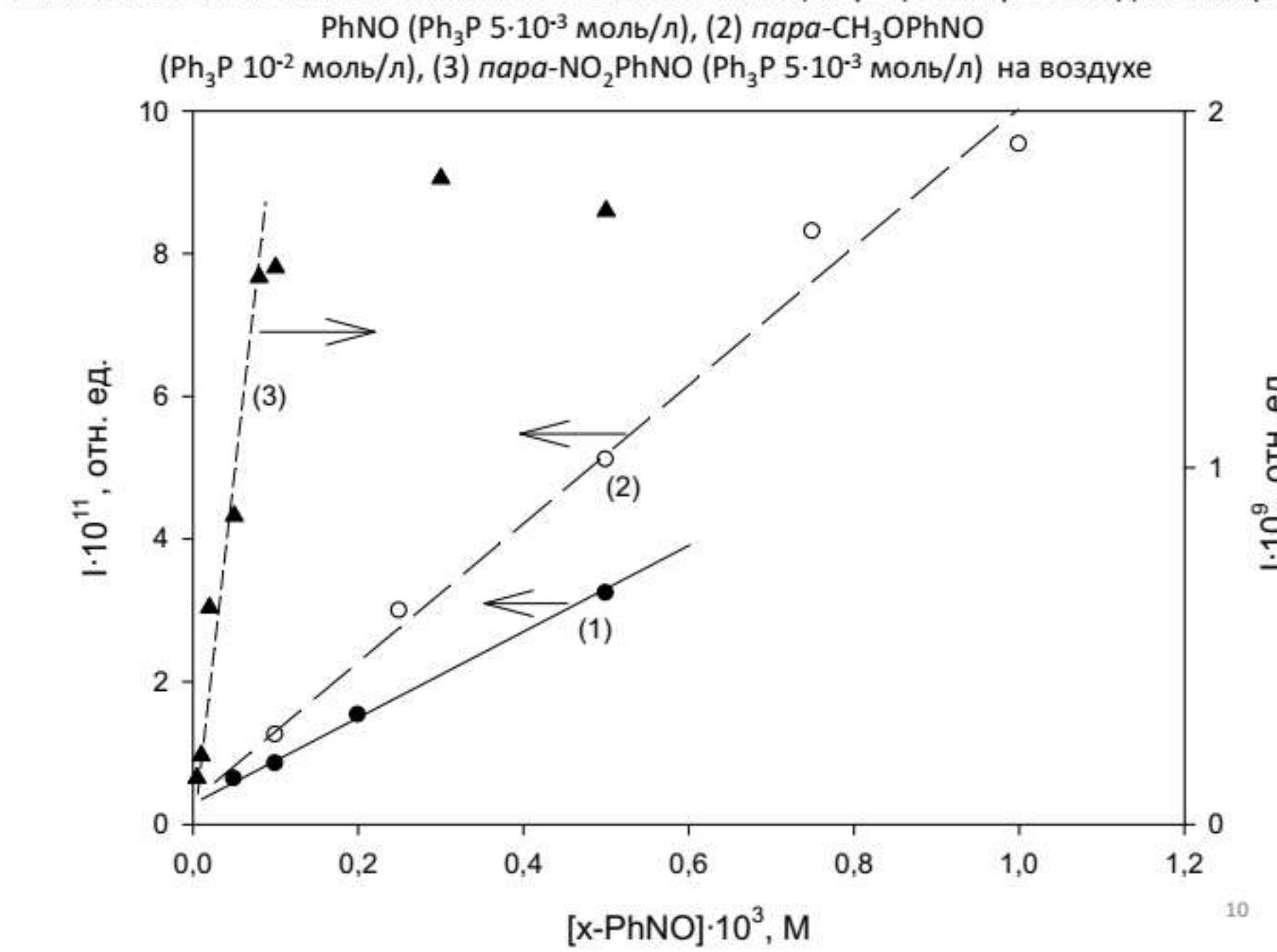
Зависимость эффективной константы скорости затухания ХЛ от концентрации трифенилfosfina,  $\text{PhNO}$ (1); *пара*- $\text{CH}_3\text{OPhNO}$ (2) ( $10^{-4}$  моль/л) на воздухе.



Спектры хемилюминесценции, снятые методом граничных светофильтров



Зависимость максимальной интенсивности ХЛ от концентрации нитрозосоединения (1)



$$\frac{1}{I_{\max}} = \frac{k_{38}}{ak_{12}k_{39}[\text{Ph}_3\text{P}]_0^2} + \frac{k_{34}[O_2]_0}{ak_{12}k_{39}[\text{Ph}_3\text{P}]_0^2} \cdot \frac{1}{[ArNO]_0}$$

$$\frac{[ArNO]_0}{I_{\max}} = \frac{k_{34}[O_2]_0}{ak_{12}k_{39}[\text{Ph}_3\text{P}]_0^2} + \frac{k_{38}}{ak_{12}k_{39}[\text{Ph}_3\text{P}]_0^2} [ArNO]_0$$

$$\frac{[ArNO]_0}{I_{\max}} = \beta + \alpha [ArNO]_0 \quad \alpha = \frac{k_{38}}{ak_{12}k_{39}[\text{Ph}_3\text{P}]_0^2} \quad \beta = \frac{k_{34}[O_2]_0}{ak_{12}k_{39}[\text{Ph}_3\text{P}]_0^2}$$

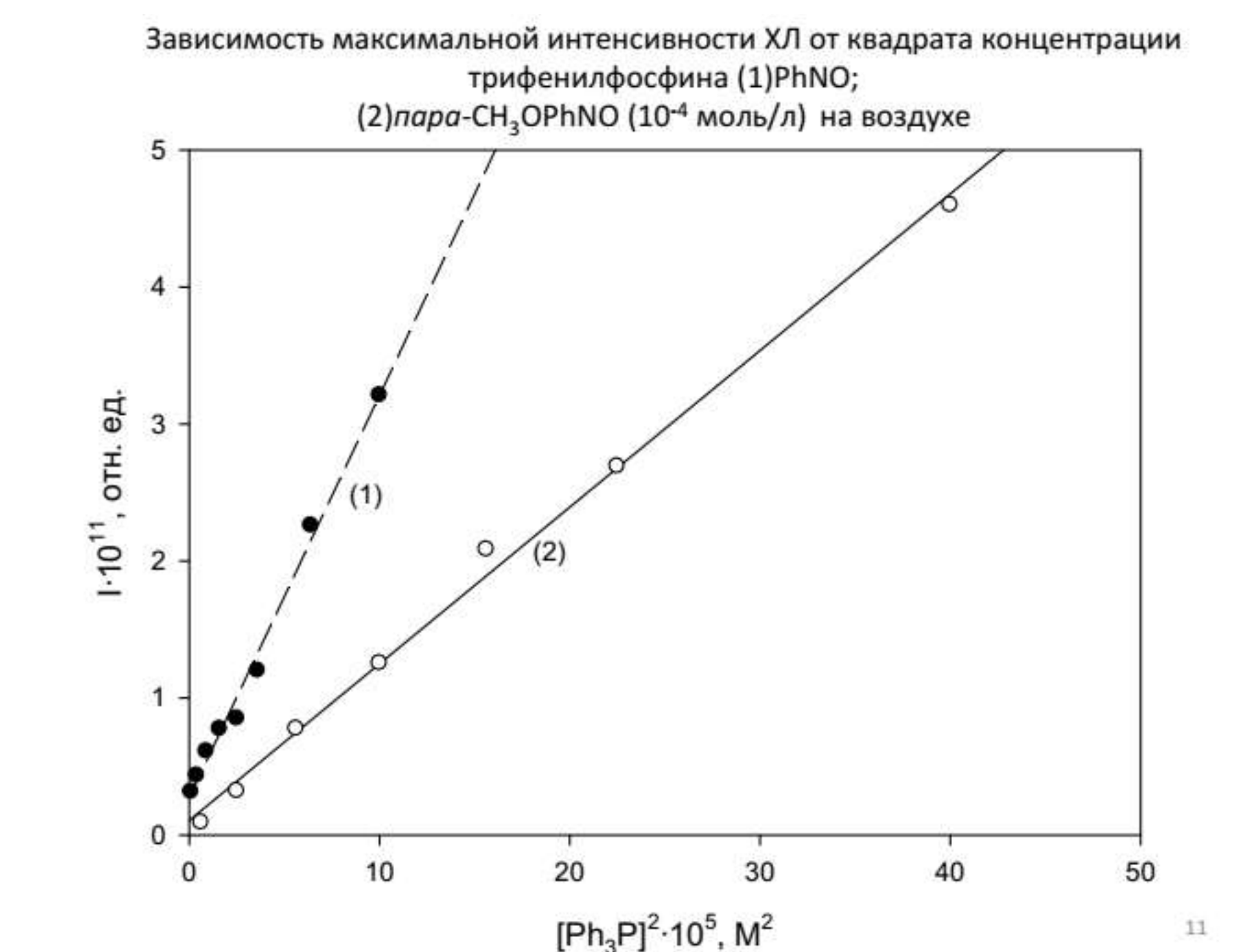
$$\frac{\alpha}{\beta} = \frac{k_{38}}{k_{34}[O_2]_0}$$

$$tg \alpha = \beta$$

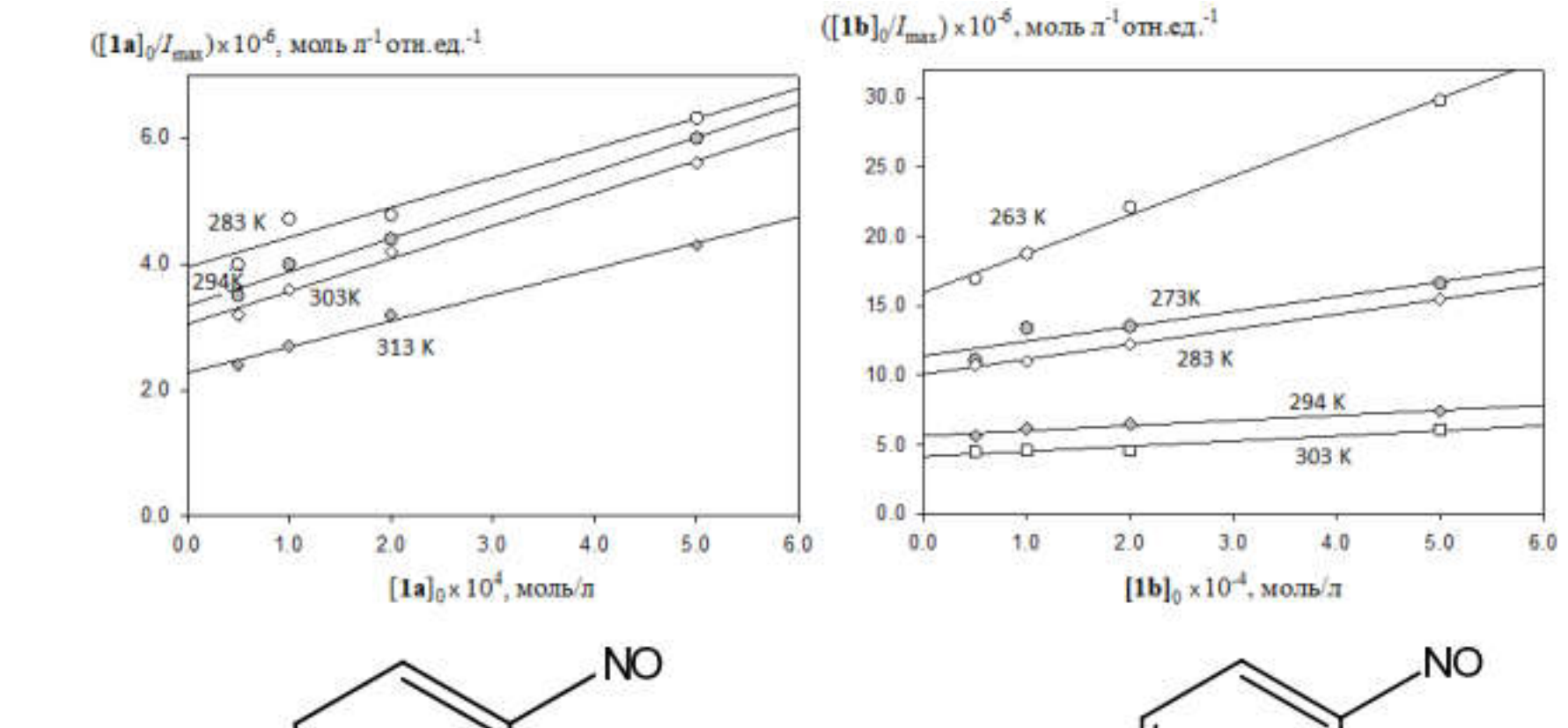
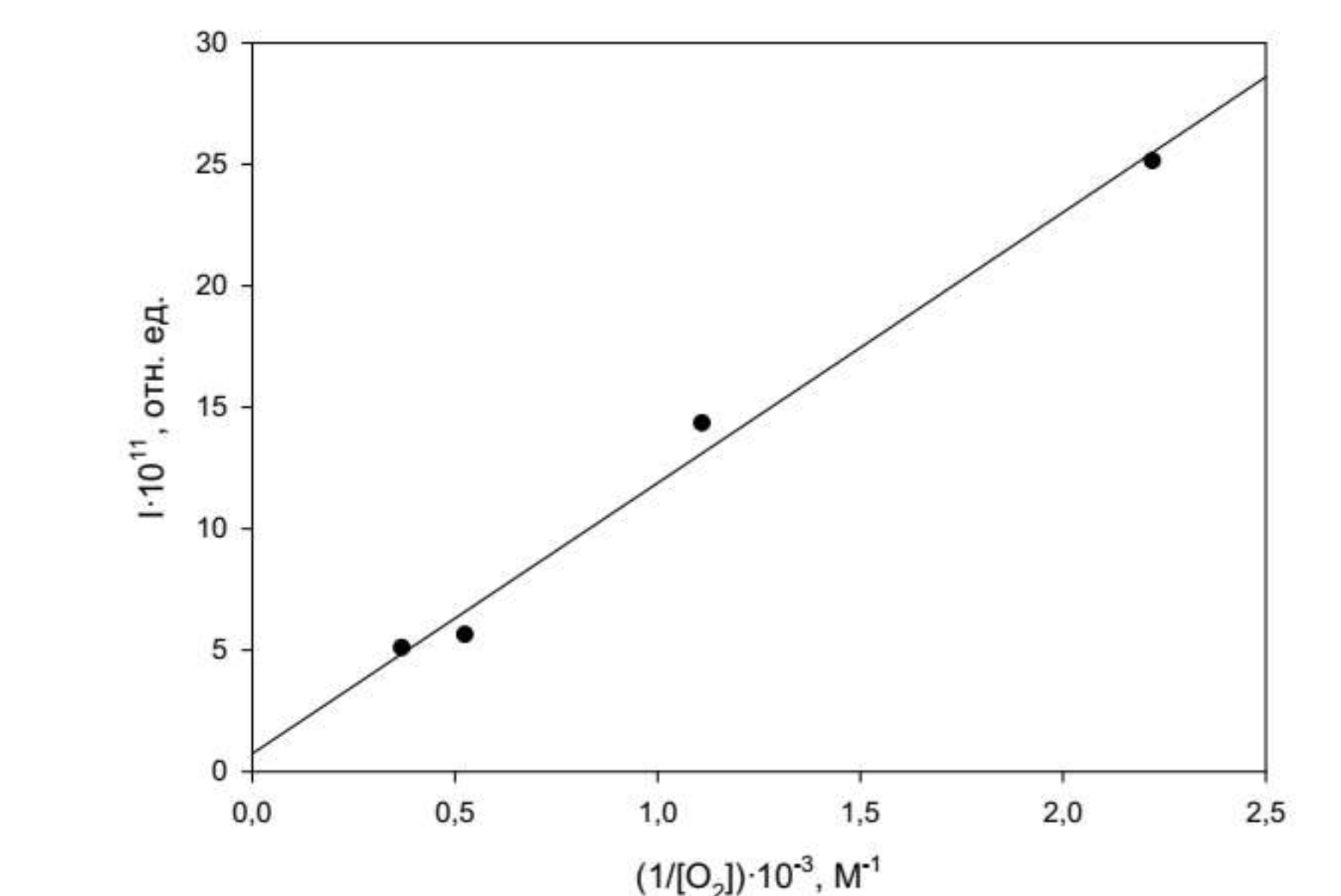
$k_{38}$ :  $\text{ArN}^3 + \text{ArNO} \rightarrow$   
 $k_{34}$ :  $\text{ArN}^3 + \text{O}_2 \rightarrow$



17

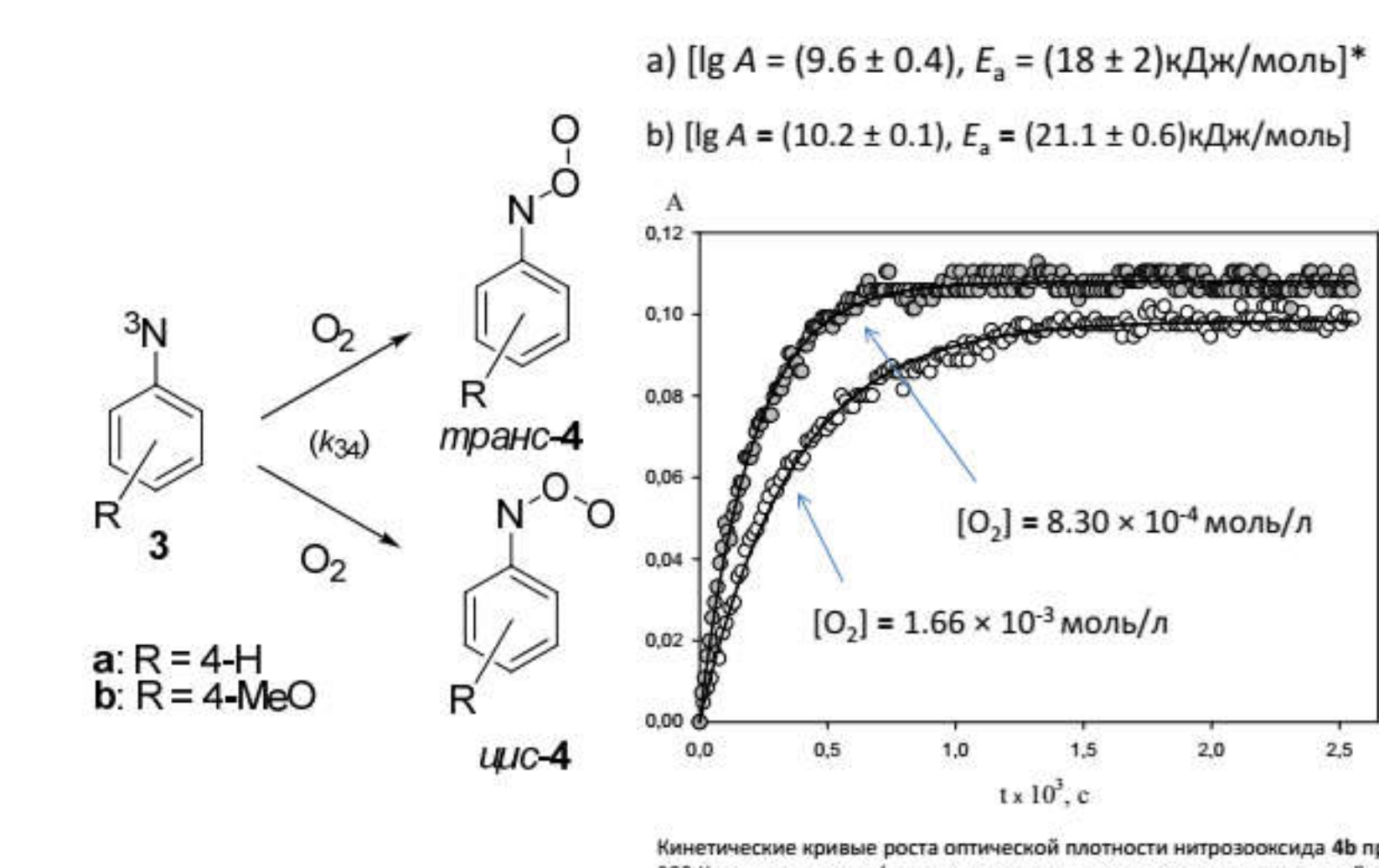


Зависимость максимальной интенсивности ХЛ от обратной концентрации кислорода в реакции *пара*- $(\text{CH}_3\text{O})\text{PhNO}$  ( $5 \cdot 10^{-4}$  моль/л)  $\text{Ph}_3\text{P}$  ( $10^{-2}$  моль/л)



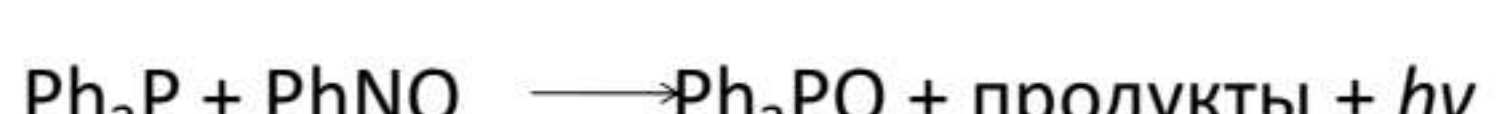
$[\text{Ph}_3\text{P}]_0 = 5 \times 10^{-3}$  моль/л.

18

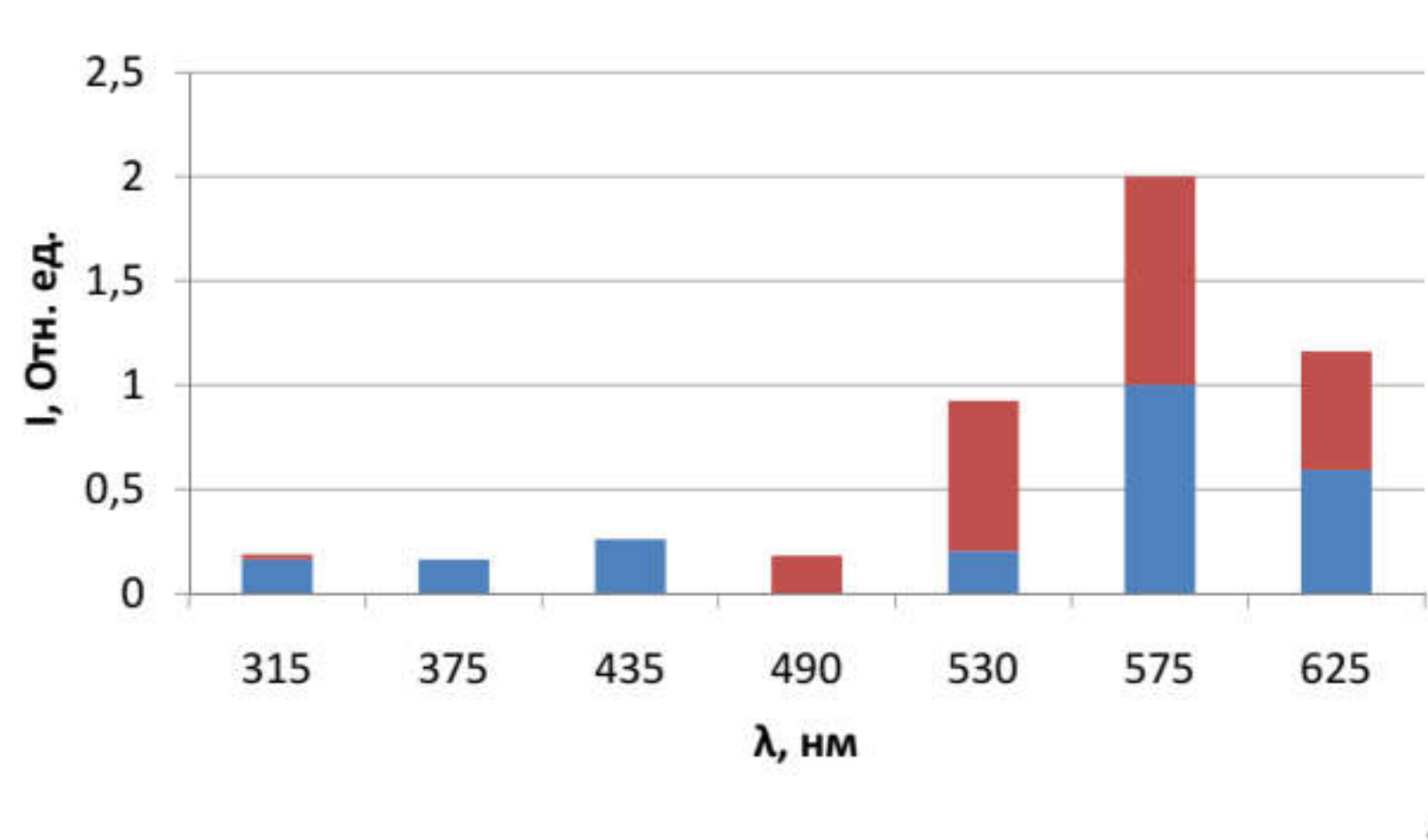


\* Софиуллин Р. Л., Хурсан С. Л., Чайникова Е. М., Данилов В. Т. // Кинетика и катализ. 2004. Т. 45. № 4. С. 680.

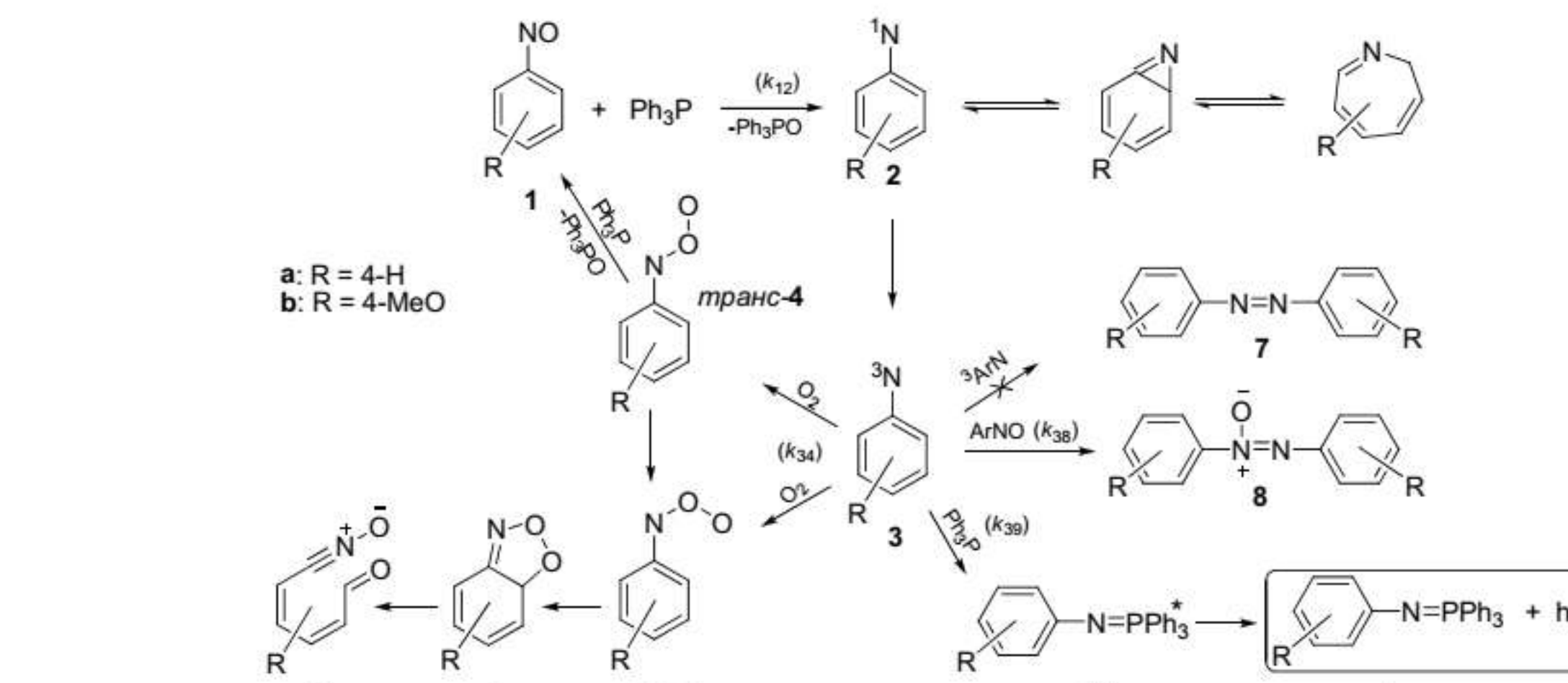
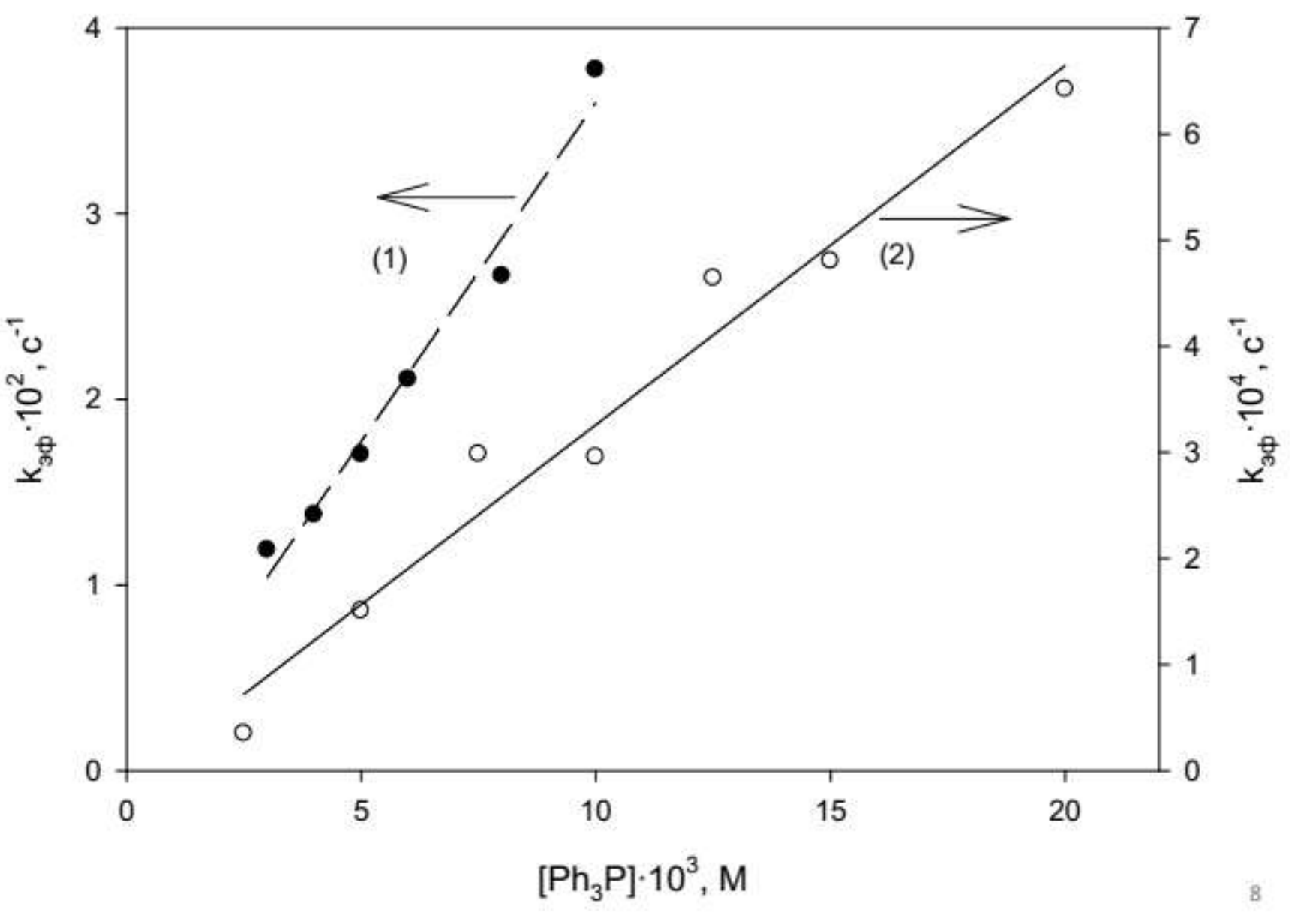
19



Спектры хемилюминесценции, снятые методом граничных светофильтров



Зависимость эффективной константы скорости затухания ХЛ от концентрации трифенилfosfina,  $\text{PhNO}$ (1); *пара*- $\text{CH}_3\text{OPhNO}$ (2) ( $10^{-4}$  моль/л) на воздухе.



$$W_{XIT} = \frac{k_{12}k_{39}[\text{Ph}_3\text{P}]^2[\text{ArNO}]}{k_{38}[\text{ArNO}]+k_{39}[\text{Ph}_3\text{P}]}$$

$$\frac{[\text{Ph}_3\text{P}]_0}{I_{\max}} = \frac{1}{ak_{12}[\text{ArNO}]_0} + \frac{k_{38}}{ak_{12}k_{39}[\text{Ph}_3\text{P}]_0} = \gamma + \delta \frac{1}{[\text{Ph}_3\text{P}]_0}$$

$$\gamma = \frac{1}{ak_{12}[\text{ArNO}]_0} \quad \delta = \frac{k_{38}}{ak_{12}k_{39}}$$

$$\frac{\delta}{\gamma} = \frac{k_{38}}{k_{39}} [\text{ArNO}]_0$$

$$k_{39} = \frac{\gamma}{\delta} k_{38} [\text{ArNO}]_0$$

$$k_{38}: \text{ArN}^3 + \text{ArNO} \rightarrow$$

$$k_{39}: \text{ArN}^3 + \text{Ph}_3\text{P} \rightarrow$$

$$k_{39} = 1.2 \times 10^4 \text{ л моль}^{-1} \text{ с}^{-1}$$

Зависимость, полученная в реакции **1b** +  $\text{Ph}_3\text{P}$  при комнатной температуре.  $[\text{1b}]_0 = 1 \times 10^{-4}$  моль/л.

294 K

21